

ضرورت بررسی مفهوم بازتوزیع لنگر و تعیین مقدار (آزمایشگاهی و تئوری) آن در دال‌های سراسری پس‌تنیده با بتون خودمتراکم

میثم توکمان‌زاده (کارشناس ارشد)

علی‌اکبر مقصودی^{*} (دانشیار)

دانشکده‌ی فنی و مهندسی، دانشگاه شهید باهنر کرمان

در اختیارنیومن اطلاعات و عدم شناخت کافی بتون خودمتراکم^۱ و پس‌تنیدگی در عملکرد سازه‌ی عرضه‌ی پل‌های پس‌تنیده در جهان و ایران، انگیزه‌ی اصلی این نوشتار است. بدین منظور ابتدا مروری بر مفهوم بازپخش لنگر در آینه‌های برای بتون‌های معمولی (نیازمند به ویره) صورت گرفته است. همچنین، برای بررسی عملکرد این نوع بتون در بازپخش لنگر و ارزیابی رابطه‌های موجود آینه‌های معمولی، دو نمونه آزمایشگاهی دال دو دهانه‌ی سراسری پس‌تنیده بدون پیوستگی^۲ با بتون خودمتراکم به طول ۷/۵، عرض ۱ و ارتفاع ۲/۰ متر ساخته و تا مرحله‌ی نهایی بارگذاری شدند. نتایج تحقیقات نظری و آزمایشگاهی نشان داد که استفاده از آینه‌های فعلی دنیا برای تعیین مقدار بازپخش لنگر در سازه‌های بتون معمولی را می‌توان با اطمینان برای بتون خودمتراکم به کار برد.

واژگان کلیدی: بتون خودمتراکم، فولاد پس‌تنیدگی بدون پیوستگی، بازپخش لنگر و دال.

mt_pce@yahoo.com
maghsoudi.a.a@mail.uk.ac.ir

مقدمه

بتون نسل جدید یا بتون خودمتراکم بتونی است که در آن بدون نیاز به هیچ‌گونه ویره‌ی داخلی یا خارجی تحت اثر وزن خود متراکم می‌شود و با توجه به روان بودن آن، قادر است به سهولت در فضاهای باریک، بر پیچ و خم و همچنین با تراکم زیاد آرماتور عبور کند و تحت تأثیر وزن خود، متراکم شود. کاربرد این نوع بتون در جهان در مورد سازه‌های بتون مسلح رو به رشد است، ضمن اینکه تحقیقات اندکی در مورد کاربرد بتون خودمتراکم در اعضاء معین و نامعین بتون پیش یا پس‌تنیده موجود است.^[۱-۵] بنابراین توجه به موضوع شکل‌بندیری و بازتوزیع لنگر در دال‌های یک طرفه‌ی پس‌تنیده‌ی سراسری (دو دهانه) با فولادهای بدون پیوستگی ساخته شده از بتون خودمتراکم مقاومت بالا در این نوشتار مد نظر است. در این نوع بتون، به عملت استفاده از مواد ریزدانه‌ی بیشتر نسبت به بتون‌های معمولی و ویره‌نگردن بتون، و همچنین با افزایش مقاومت فشاری بتون، احتمال ایجاد شکستی متفاوت نسبت به بتون‌های با مقاومت معمولی است (کرنش نهایی بتون (c_{eu}) با افزایش مقاومت آن کاهش می‌یابد^[۶]، از دیگر اولویت‌های در نظر گرفته شده‌ی این نوشتار است. تحقیقات نشان داده است که با کاهش کرنش نهایی بتون (c_{eu}) مقادار شکل‌بندیری عضو کاهش می‌یابد.^[۷] در این صورت تعیین اینکه آیا عضو توانایی رسیدن به ظرفیت چرخش خمیری را دارد تا بتوان از تحلیل‌های موردنظر استفاده کرد یا خیر، مهم است. نکته‌ی دیگر اینکه به عملت امکان پیوستگی متفاوت بین این نوع بتون با فولادهای معمولی (به عملت حذف ویره و افزایش مواد ریزدانه در بتون خودمتراکم)، ظرفیت تغییرشکل نهایی (خیز) و درصد بازپخش لنگر چنین اعضا‌یی ضرورت فوری

یکی از موارد مهم در طراحی اعضاء در حالت نهایی، بحث بازپخش لنگر (بازتوزیع لنگر، پخش مجدد لنگر) است. اهمیت موضوع همواره تحت تأثیر دو منظر اینسانی سازه (افزایش مقادار شکل‌بندیری) و اقتصاد (میزان فولاد مصرفی) طرح هاست. متأسفانه به این موضوع مهم در ویرایش‌های قدیم آینه‌های که بیشتر ساختمان‌های موجود براساس آن‌ها طراحی شده‌اند، پرداخته نشده و فقط محدودیتی در به کارگیری پیشنهادی فولاد مجاز نسبت به فولاد متوازن اعمال شده است. مثلاً در پژوهشی^[۸] نشان داده شده است که در صورت استفاده از میزان فولاد پیشنهادی ACI ۳۱۸-۹۹^[۹]، برابر با $\rho_{max} = ۰,۷\rho_b$ در تیرهای تحت خمی، چنین عضوی فقط شکل‌بندیری برابر با ۲ دارد، که تقریباً برابر با نصف مقادار کمینه‌ی پیشنهادی شکل‌بندیری در مناطق زلزله‌خیز است. ولذا استفاده از این میزان فولاد، برای چنین نواحی نگران‌کننده و نایمن است. چنین نحوی طراحی، در آینه‌های امریکا از سال ۲۰۰۲^[۱۰] تغییر کرده و سعی شده است روش طراحی به آینه‌های انگلستان BS ۸۱۱۰^[۱۱] (۱۹۸۵) نزدیک‌تر شود. به عبارت دیگر در آینه‌های انگلستان^[۱۲] طراحی براساس درصد بازتوزیع لنگر صورت گرفته است، که به نظر روش پیشنهاده شده تری نسبت به ویرایش‌های قدیمی تر ACI^[۱۳] است. ضمن اینکه روش طراحی در مناطق زلزله‌خیز، براساس شکل‌بندیری و بازتوزیع لنگر به طرح مطمئن‌تر سازه نسبت به روش‌های قدیمی و رایج بعضی آینه‌های که براساس مقاومت بتون نهاده شده است، خواهد شد.

* نویسنده مسئول

تاریخ: دریافت ۱۰/۱۱/۱۳۸۸، اصلاحیه ۱۱/۱۱/۱۳۸۹، پذیرش ۱۵/۱۲/۱۳۸۹.

بررسی آینین نامه‌ها در مورد بازتوزیع لنگر

در اغلب آینین نامه‌های فعلی دنیا، اجازه‌ی بازپخش لنگر در سازه‌ها را در حالت نهایی با ایجاد شکل پذیری مناسب می‌دهند. اما نکته‌ی مهم که در خیالی از آینین نامه‌ها موردنوجه قرار نگرفته است، بازپخش لنگر در سازه‌های پس‌تینیده است. لذا بررسی و مقایسه‌ی نتایج و روابط آینین نامه‌ها با مقادیر حاصل از نتایج آزمایشگاهی ضروری به نظر می‌رسد. آینین نامه‌ها با استفاده از روش‌های توسعه‌یافته، طراحان را در انتخاب یکی از سه روش آنالیز یا تحلیل غیرخطی، تحلیل خمیری و تحلیل براسنس آنالیز خطی با درنظرگرفتن بازتوزیع لنگر باری کرده‌اند. ساده‌ترین و سریع‌ترین روش درین روش‌های فوق، روش آنالیز کشسانی خطی با بازتوزیع لنگر است. ضریب بازتوزیع لنگر (β) به صورت رابطه‌ی ۱ تعریف می‌شود.

$$\beta = \frac{M_{red}}{M_{els}} \quad (1)$$

همچنین درصد بازتوزیع لنگر (MR) با رابطه‌ی ۲ نیز قابل تعیین است.

$$\%MR = \frac{M_{elast} - M_{red}}{M_{elast}} \quad (2)$$

در رابطه‌ی ۲، مقدار ممان حاصل از تحلیل خمیری یا حاصل از بازپخش لنگر است.

در آینین نامه‌ی CEB-FIP [۱۰] درصد بازپخش ممان به شکل پذیری فولاد، مقاومت بنن و نوع سازه بستگی دارد. این شرایط در جدول ۱ نشان داده شده است. تنها تغییر این و برویش آینین نامه (۱۹۹۳) نسبت به برویش سال ۱۹۹۰ تبدیل مقدار بیشینه‌ی ۳۰٪ بازپخش لنگر به ۲۵٪ برای سازه‌های دارای فولاد با شکل پذیری زیاد و معمولی است. برای تعیین دسته نوع A یا B برای فولاد پس‌تینیده، آینین نامه CEB-FIP پیشنهادهایی ارائه کرده است. این پیشنهادها در سه سطح آخر جدول ۱ آمده است. مبنی بر اینکه چنین الزاماً در تیرهای سراسری ایجاد شود، تا ۲۵٪ بازپخش لنگر در اعضای پس‌تینیده مجاز ثلقی شده است. بررسی‌ها نشان می‌دهد آینین نامه‌ی CEB-FIP (۱۹۹۰) برای اولین مرتبه بازپخش لنگر را به مقاومت بنن و شکل پذیری فولاد وابسته کرده است. پس از آن آینین نامه‌ی Euro Code ۲

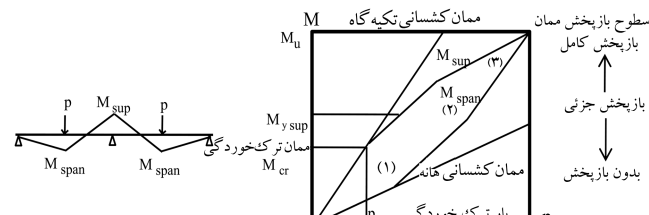
جدول ۱. بازتوزیع لنگر مطابق با آینین نامه‌ی CEB-FIP [۱۰].

شکل پذیری فولاد	مقاومت بنن	درصد بازتوزیع لنگر
شکل پذیری معمولی و زیاد (classes S and A)	$12 \leq f'_c \leq 35 Mp$	$\beta \geq 0,44 + 1,25x/d$
شکل پذیری معمولی و زیاد	$40 \leq f'_c \leq 80 Mp$	$\beta \geq 0,56 + 1,25x/d$
شکل پذیری معمولی و زیاد	تیرهای سراسری و قاب‌های بدون مهار جانبی	$0,75 \leq \beta \leq 1$
شکل پذیری معمولی و زیاد	قاب‌های دارای مهار جانبی	$0,9 \leq \beta \leq 1$
شکل پذیری کم (class B)	$12 \leq f'_c \leq 80 Mp$	$0,9 \leq \beta \leq 1$ $\beta \geq 0,44 + 1,25x/d$
شکل پذیری معمولی و زیاد	$12 \leq f'_c \leq 35 Mp$	$c/d \leq 0,45$
شکل پذیری معمولی و زیاد (class B)	$40 \leq f'_c \leq 80 Mp$	$c/d \leq 0,35$
	$12 \leq f'_c \leq 80 Mp$	$c/d \leq 0,25$

چنین تحقیقاتی را نشان می‌دهد. سؤال مهم مطرح دیگر عبارت است از اینکه آیا سازه‌های پستینیده با فولاد بدون پیوستگی دارای بنن خودمتراکم در نواحی بحرانی (از جمله بالای مقاطع تکیه‌گاه میانی یا مقاطع پایین وسط دهانه در دهانه‌های سراسری)، شکل پذیری کافی برای ایجاد مفصل خمیری با ظرفیت چرخش کافی برای تحلیل غیرخطی یا تحلیل خطی با بازتوزیع لنگر را دارد یا خیر؟ از اینها بسیار مهم دیگر اینکه با تغییر در مقدار مقاومت بنن، مقدار سختی خمیری در فاز قبل از ترک خودگی بیشتر شده است و این خود باعث تغییر در مقادیر بازپخش ممان می‌شود. بنابراین سعی شده است به این نکات در این نوشتار پرداخته شود.

مفهوم کلی بازپخش ممان

استفاده از تحلیل کشسانی برای تخمین لنگر خمیری در اعضای سراسری (یکسره) تا باری که منجر به عملکرد خطی مصالح است، صادق است. معمولاً شبیه نمودار بار-لنگر (شکل ۱) پس از ترک خودگی عضو تغییر می‌کند و دیگر تحلیل کشسانی قادر به نشان دادن عملکرد واقعی عضو نیست. اختلاف بین دیاگرام لنگر واقعی و لنگر به دست آمده از تحلیل کشسانی، مربوط به بازپخش لنگر است. یک عضو سراسری می‌تواند به طور جزیی یا کامل لنگر خود را بازپخش کند. بازپخش جزیی یا کامنیسم خرابی عضو بر می‌گردد، یعنی حالتی که عضو در محل مفصل خمیری قادر به ایجاد چرخش کافی است. در صورتی که عضو قادر به ایجاد چرخش کافی نباشد، بار خرابی از بار اسمنی کمتر می‌شود و عضو به بازپخش کامل لنگر نمی‌رسد. دیاگرام بار-بازپخش لنگر در یک عضو سراسری تحت دو بار متمرکز در وسط دهانه به طور فرضی در شکل ۱ نشان داده شده است. شکل ۱، نمایانگر سه ناحیه‌ی بحرانی (یک ناحیه در تکیه‌گاه میانی و دو ناحیه‌ی دیگر زیر بارهای وسط دهانه) است، به نحوی که هر سه ناحیه دارای ظرفیت لنگر نهایی (M_u) یکسانی هستند. مقدار بازپخش لنگر از روی شکل ۱ قابل تشخیص است. در صورتی که لنگر در وسط دهانه یا زیر بار و یا روی تکیه‌گاه میانی باعث خرابی عضو شود و مقدار آن نزدیک به لنگر کشسانی باقی بماند، هیچ‌گونه بازپخش لنگری در عضو رخ نداده است (ناحیه‌ی شماره‌ی ۱، در شکل ۱). در صورتی که دو مقاطع وسط دهانه یا زیر بار قادر به تحمل لنگر نهایی (M_u) باشند، بازپخش لنگر به حالت کامل رسیده است (ناحیه‌ی شماره‌ی ۳، در شکل ۱). در بازپخش جزیی، خرابی در عضو رخ داده است اما مقاطع وسط دهانه هنوز به ظرفیت نهایی خود نرسیده است (ناحیه‌ی شماره‌ی ۲، در شکل ۱). برای تعیین مقدار بار خرابی و بازپخش لنگر باید از روش تحلیل غیرخطی استفاده کرد. برای دسترسی به هر یک از سطوح (۱، ۲ و ۳) تعیین مقدار شکل پذیری مقاطع بحرانی عضو الزاماً است.



شکل ۱. نمونه‌ی از نحوه‌ی بازپخش لنگر در یک عضو سراسری.

جدول ۴. سطوح شکل‌پذیری فولاد در آینین نامه‌های طراحی.

آینین نامه	فولاد با شکل‌پذیری کم	فولاد با شکل‌پذیری معمولی	فولاد با شکل‌پذیری زیاد
CEB-FIP	Class B: $(f_{su}/f_{sy}) \geq 1.05, \varepsilon_{cu} \geq 2.5$	Class A: $(f_{su}/f_{sy}) \geq 1.08, \varepsilon_{cu} \geq 1.0$	Class S: $(f_{su}/f_{sy}) \geq 1.15, \varepsilon_{cu} \geq 1.0$
Euro Code ۲	Type N: $(f_{su}/f_{sy}) \geq 1.05, \varepsilon_{cu} \geq 2.5$	Type H: $(f_{su}/f_{sy}) \geq 1.08, \varepsilon_{cu} \geq 1.0$	مسکوت مانده

پیش و پس تئیده)، ۵٪ افزایش نسبت به آینین نامه اروپا (EC۲) از سال ۱۹۹۲ به آینین نامه اروپا (EC۲) در سال ۲۰۰۴ را داشته است. ۲. این مقدار وابسته به کرنش نهایی بتن (ε_{cu}) شده است. به عبارت دیگر، چنین نتیجه می‌شود که حرکت به سمت وابسته کردن با توزیع لنگر به شکل‌پذیری، یا به بیان دیگر، در صورتی که سازه‌یی قادر به رسیدن به کرنش ۳۵٪، که مربوط به ε_{cu} در حالت نهایی است، باشد؛ چنین سازه‌یی دارای شکل‌پذیری مناسب در مصالح و مقدار قرارداده شده در جدول ۴ عضو است که قادر به ایجاد چنین کرنشی در بتن شده است. در جدول ۴ مشخصات فولاد با شکل‌پذیری زیاد، معمولی و کم نشان داده شده است.

آینین نامه ای اروپا [۲] ACI۳۱۸-۹۹ است. براین اساس، اگر در سازه‌های دارای فولاد پس تئیده بدون پیوستگی، کمیته‌ی فولاد معمولی پیوسته تعییه شود، درصد بازپخش لنگر در ناحیه ممان منفی مطابق رابطه‌ی ۴ قابل تعیین است.

$$\omega_p = \rho_p \frac{f_{py}}{f'_c}, \quad \omega' = \rho' \frac{f_{y'}}{f'_c}, \quad \omega = \rho \frac{f_y}{f'_c} \quad (4)$$

در رابطه‌ی ۴ مقادیر ω , ω' و ω_p عبارتند از:

$$\omega_p = \rho_p \frac{f_{py}}{f'_c}, \quad \omega' = \rho' \frac{f_{y'}}{f'_c}, \quad \omega = \rho \frac{f_y}{f'_c}$$

در حالی‌که، β_1 عبارت است از ضریب مربوط به ارتفاع بلوک نتش فشاری معادل، d_p ارتفاع فولاد پس تئیده از وجه فشاری تا مرکز این نوع فولاد، d ارتفاع فولاد معمولی از وجه فشاری تا مرکز فولاد، ρ_p نسبت فولاد پس تئیده، ρ درصد فولاد معمولی کششی، ρ' درصد فولاد معمولی فشاری. تنها تغییری که در این آینین نامه تا سال ۲۰۰۲ دیده شد، این است که در ویرایش ۱۹۸۹ [۱۳] این آینین نامه مبحث ممان ثانویه قبل از بازپخش ممان با ضریب ۱ محاسبه شده است و ممان ناشی از بار خارجی با ضریب ۱ بازپخش و با هم جمع جبری می‌شود. این تغییر در نتیجه‌ی مطالعات نسبتاً دقیق و منطقی [۱۴] اتخاذ شده است. آینین نامه ACI۳۱۸-۰۸ موضع بازپخش لنگر در سازه‌های پس تئیده را همانند سازه‌های بتن آرمه می‌منظور می‌کند. در این ویرایش آینین نامه، در صورتی بازپخش لنگر مجاز است که کرنش در دورترین تار فولاد کششی ε_t ، به مقدار کمیته‌ی ۷۵٪ بدون درنظر گرفتن اثر پیش تئیده، خوش و اقتباس برسد. در این صورت این آینین نامه ۲۰٪ بیشینه‌ی بازپخش لنگر با مقدار ε_t (کرنش در دورترین تار فولاد کششی) را برای هر نوع بارگذاری درنظر می‌گیرد (عبارت است از کرنش خالص فولاد کششی). یادآوری می‌شود که در پیوست B آینین نامه برای سازه‌های پیش و پس تئیده، مجوز استفاده از رابطه‌ی ۴ داده شده است. برای محاسبه‌ی ε_t می‌توان از رابطه‌ی ۵ ارائه شده در سال ۱۹۹۲ استفاده کرد، [۱۵] در حالی‌که M_n ممان اسمی مقطع است.

$$\varepsilon_t = 0.003 \left[\frac{\beta_1}{1 - \sqrt{1 - \frac{R_n}{\gamma f'_c}}} - 1 \right], \quad R_n = \frac{M_n}{bd^t} \quad (5)$$

جدول ۲. بازتوزیع لنگر مطابق با Euro Code ۲ (۱۹۹۲).

درصد بازتوزیع لنگر	مقاومت بتن و شکل‌پذیری فولاد
$\beta \geq 0.44 + 1.25x/d$	$f'_c \leq 50 Mp$
$\beta \geq 0.54 + 1.25x/d$	$f'_c \geq 50 Mp$
$\beta \geq 0.7$	شکل‌پذیری معمولی و زیاد
$\beta \geq 0.85$	شکل‌پذیری کم

[۱۱] به این موضوع اشاره کرده است. آینین نامه ای (۱۹۹۲) با توجه به دو محدودیت اصلی یعنی نوع فولاد و مقاومت فشاری بتن (عوامل اصلی برای شکل‌پذیری)، مقدار بازتوزیع لنگر را مطابق جدول ۲ تعریف کرده است. از دیگر نکات قابل ذکر برای شکل‌پذیری موردنیاز در آینین نامه ای (۱۹۹۲)، محدودیت‌هایی برای نسبت ارتفاع تار خنثی به فاصله‌ی مرکز فولاد طولی کششی معمولی از دورترین تار فشاری c/d و شکل‌پذیری فولاد مورد استفاده در سازه‌های بتنی است. مثلاً برای استفاده از تحلیل خمیری بدون کنترل چرخش مفصل خمیری، آینین نامه ای (۱۹۹۲) محدودیت نسبت ارتفاع تار خنثی به فاصله‌ی مرکز فولاد طولی کششی معمولی از دورترین تار فشاری بتن را برابر با $0.25 c/d$ دانسته است. همچنین در صورت استفاده از فولاد با شکل‌پذیری زیاد، نیازی به کنترل چرخش مفصل خمیری نیست.

آینین نامه ای (۱۹۹۲) [۱۲] بدون توضیحی در مورد چرخش خمیری، استفاده از روش تحلیل براساس آنالیز خطی با درنظر گرفتن بازتوزیع لنگر را برای اعضاء خمسمی مجاز دانسته است. موارد آینین نامه‌ی در جدول ۳ نشان داده شده است. قابل ذکر است که ε_{cu} (کرنش نهایی بتن) برای بتن‌های با مقاومت کمتر یا مساوی ۵۰ مگاپاسکال، برای ۳۵٪ و برای مقاومت ۵۵ تا ۹۰ مگاپاسکال مطابق رابطه‌ی ۳ است. f'_c مقاومت نمونه‌ی استوانه‌ی ۲۸ روزه‌ی بتن است.

$$\varepsilon_{cu} = \left[\frac{98 - f'_c}{2.8 + 2.2 \times 10^{-3}} \right]^{\frac{1}{100}} \quad (3)$$

از مقایسه‌ی نتایج جدول ۲ و ۳ چنین نتیجه می‌شود که ۱. مقدار بازتوزیع لنگر در سازه‌های دارای فولاد با شکل‌پذیری کم (همانند اعضاء دارای فولادهای

جدول ۳. بازتوزیع لنگر مطابق با Euro Code ۲ (۲۰۰۴).

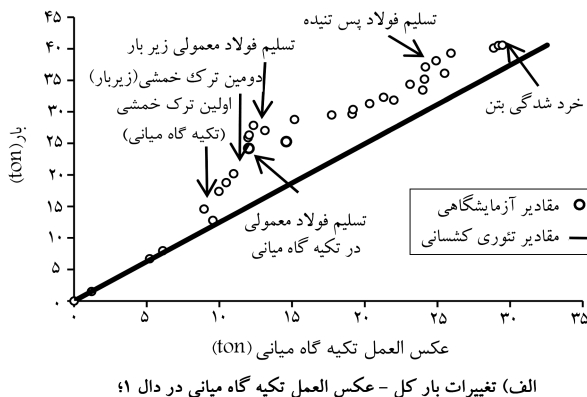
درصد بازتوزیع لنگر	مقاومت بتن و شکل‌پذیری فولاد
$\beta \geq 0.44 + 1.25(0.6 + 0.0014/\varepsilon_{cu})x/d$	$f'_c \leq 50 Mp$
$\beta \geq 0.54 + 1.25(0.6 + 0.0014/\varepsilon_{cu})x/d$	$f'_c \geq 50 Mp$
$\beta \geq 0.7$	شکل‌پذیری معمولی و زیاد
$\beta \geq 0.85$	شکل‌پذیری کم

جدول ۵. مشخصات هندسی نمونه‌ها.

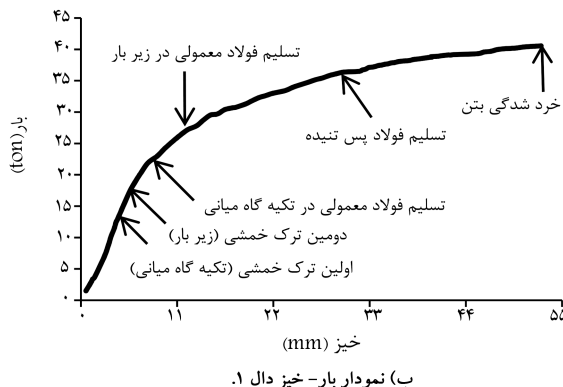
مشخصات هندسی							نمونه
d'	d	d_p	$\rho' = \frac{A'_s}{bd}$	$\rho = \frac{A_{ps}}{bd}$	$\rho_p = \frac{A_{ps}}{bd_p}$	نسبت فولاد معمولی پس تنیده	
۲۵	۱۸۰	۱۷۵	۰,۰۰۲۴۰۲	۰,۰۰۲۴۰۲	۰,۰۰۱۹۳۶	۶	ρ_{min} پایین
۲۵	۱۸۰	۱۷۵	۰,۰۰۲۴۰۲	۰,۰۰۲۴۰۲	۰,۰۰۱۷۴۶	۴	ρ_{min} بالا و پایین

به علت بود آرماتور طولی بعد از نقطهٔ قطع عملی در دال ۱ (۹۰ میلی‌متری از تکیه‌گاه میانی)، بنابراین بیشتر آرماتورهای حرارتی در قسمت پایین عضو قرار داده شده و تغییراتی در سختی ایجاد شده است.

در ساخت دال‌ها، ۳ تغییر اعمال شده است که عبارتند از: ۱. قطع فولاد طولی در دال ۱ بعد از نقطهٔ عطف که باعث تغییر در سختی نمونه و درنهایت شکل‌بزیری و همچنین مقاومت خمشی عضو شده است، ۲. تعداد فولاد پس‌تنیدگی که باعث تغییر در مقاومت خمشی و ممان تأویه شده است، ۳. تغییر در فولاد عرضی که ایجاد سختی متفاوت را ایجاد کرده است. در هر یک از دال‌ها طبق آین نامه‌ی ACI۳۱۸-۰۸ [۱۵] از مقداری آرماتور حرارتی و تقاضای برابر با $\frac{A_s}{A_g} = ۰,۰۰۱۸$ استفاده شده است. لذا در هر متر طول دال، ۳۶۰ میلی‌متر مرتب آرماتور به طور عرضی با چیدمانی مطابق شکل ۲ قرار داده شد. برای دقت بیشتر، انواع ابزارهای دقیق اندازه‌گیری از کمپانی TMI کشور ژاپن تهیه و بر سطح انواع فولادها و بتن در نقاط مختلف طول تیر نصب شد. نتایج آزمایش‌های فاز خمیری و سخت‌شده بتن خودمتراکم در جدول ۶ نشان داده شده است. نحوهٔ طرح و ساخت نمونه‌ها به طور کامل در مرجع ۵ آورده شده است. برای دو دال آزمایش شده در شکل‌های ۳ و ۴، نمودار عکس العمل تکیه‌گاه میانی در مقابل بار اعمالی در مراحل مختلف رسم شده است. در نمونه‌ها از آرماتور حرارتی در جهت عرضی استفاده شده است که جزئیات استفاده از آن‌ها در شکل ۲ نشان داده شده است.



(الف) تغییرات بار کل - عکس العمل تکیه گاه میانی در دال ۱

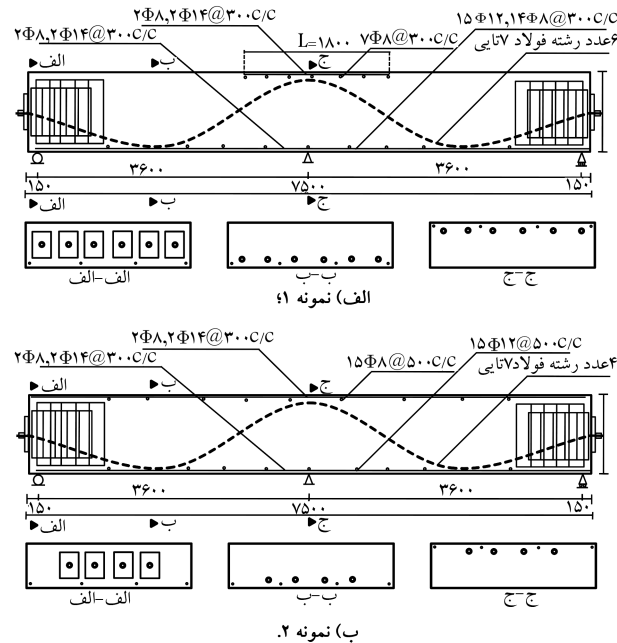


(ب) نمودار بار - خیز دال ۱

شکل ۳. نمودار تغییرات بار عکس العمل تکیه گاه میانی و بار - خیز دال ۱.

مدل‌سازی، ساخت نمونه‌ی آزمایشگاهی و نتایج

برای طراحی نمونه‌ها، از آنجا که تاکنون آین نامه‌ی در مورد طراحی اعضای پیش‌یاب پس‌تنیده با بن خودمتراکم (بدون نیاز به ویره) منتشر نشده است، از آخرین ویرایش آین نامه‌ی ACI۳۱۸-۰۸ [۱۵] در طراحی و ساخت نمونه‌ها که برای سازه‌های بتونی معمولی (با نیاز به ویره) منتشر شده است، استفاده شد. جزئیات دال‌های آزمایش شده‌ی سراسری پس‌تنیده با بن خودمتراکم در شکل ۲ و همچنین جدول ۵ نشان داده شده است. برای درنظر گرفتن درصد با توزیع لنگر در این اعضاء، در دال شماره‌ی ۱ از تعداد ۶ عدد رشته‌ی فولاد (strand) هفت تایی پس‌تنیده بدن پیوستگی با قطر $۹,۵۴$ میلی‌متر و در دال شماره‌ی ۲ از تعداد ۴ عدد رشته‌ی فولاد هفت تایی پس‌تنیده بدن پیوستگی با قطر $۱۱,۱۱$ میلی‌متر استفاده شده است. همچنین در دال ۱ و ۲ از کمینه‌ی فولاد طولی معمولی سراسری براساس پژوهشی در سال ۱۹۹۲ در پایین و بالای تاوه استفاده شده است (توضیح اینکه کمینه‌ی فولاد طولی معمولی کششی در ناحیه‌ی لنگر منفی (تکیه‌گاه میانی) در دال ۱، فقط در ناحیه‌ی از دال یعنی تا نقطهٔ عطف لنگر استفاده شده است). [۱۵] نحوهٔ طرح و ساخت نمونه‌ها به طور کامل در مرجع ۵ آورده شده است. برای دو دال آزمایش شده در شکل‌های ۳ و ۴، نمودار عکس العمل تکیه‌گاه میانی در مقابل بار اعمالی در مراحل مختلف رسم شده است. در نمونه‌ها از آرماتور حرارتی در جهت عرضی استفاده شده است که جزئیات استفاده از آن‌ها در شکل ۲ نشان داده شده است.

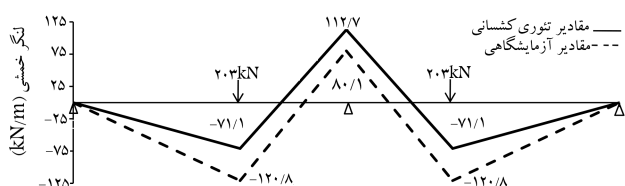


شکل ۲. مشخصات هندسی.

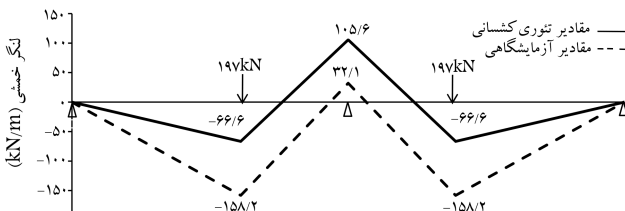
یک توزیع واقعی ممان در مدل آزمایشگاهی با مدل تحلیل کشسانی برای پیش‌بینی ممان تا چه اندازه تفاوت دارد. همان‌گونه که مشاهده می‌شود در بار نهایی، دال ۱ و ۲ قادر به بازتوزیع لنگری به ترتیب برابر با $15/3$ و $42/9$ درصد در بار نهایی است. به عبارت دیگر، با این میزان بازتوزیع لنگر، عملکرد برتران بنوع بتن (علی‌رغم اینکه بدون پیروزی اجرا می‌شود و توجه به این نکته که بتن طراحی شده دارای مقاومت بالایی است (جدول ۴) و انتظار تردشکنی آن بدليل مقاومت بالای آن نسبت به بتنهای با مقاومت کم هست) مشهود است.

همچنین نکته‌ی حائز اهمیت دیگر اینکه فولادهای پس‌تینیده با بتن خودمتراکم اطراف خود بدون پیوستگی هستند. به عبارت دیگر، چنین نتیجه می‌شود که با اجرای اعضای دارای پیوستگی فولاد با بتن اطراف، امکان بازتوزیع لنگر بیشتری فراهم خواهد شد. همچنین، امکان بازتوزیع لنگر در نمونه‌های آزمایشی در صورتی فراهم خواهد شد که بار در مرکز دهانه $1/8$ متر) اعمال شود و نه در محل فعلی (۴) متری از تکیه‌گاه میانی). زیرا در فاصله‌ی $1/8$ متری عضو خروج از مرکزیت فولادهای پس‌کشیده برابر با $e = 70$ mm و در فاصله‌ی $1/4$ متری مقدار آن برابر با $e = 50$ mm است. افزایش در خروج از مرکزیت، منجر به افزایش ظرفیت ممان می‌شود و در نتیجه بر ظرفیت مقطع و بازپخش لنگر افزوده خواهد شد.

با توجه به اینکه سه تغییر اعمالی باعث تغییر در مقدار مقاومت خمشی (به مقدار اندک)، شکل‌بزیری یا خیز دال‌ها و درنهایت تغییر زیادی در مقدار بازپخش لنگر را ایجاد کرده است، با دقت در شکل‌های ۵ و ۶، این واقعیت روشمندی شود که با کوچک‌ترین تغییر در مشخصات عضو که باعث تغییرات ناچیزی در حدود 3% در مقاومت خمشی شده است، تغییراتی در حدود 64% در بازپخش لنگر را ایجاد کرده است. همچنین این نتیجه به دست می‌آید که با افزایش شکل‌بزیری عضو (استفاده



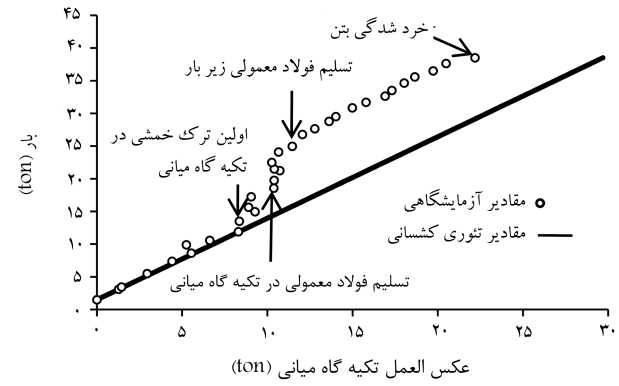
شکل ۵. پروفیل طولی لنگر خمشی در حالت کشسانی و مقادیر آزمایشگاهی برای دال ۱.



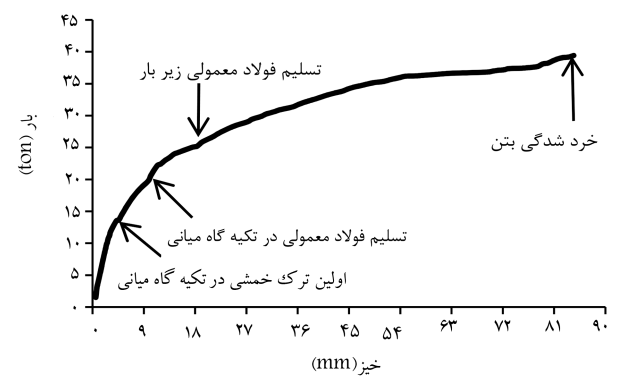
شکل ۶. پروفیل طولی لنگر خمشی در حالت کشسانی و مقادیر آزمایشگاهی برای دال ۲.

جدول ۶. نتایج آزمایش فاز خمیری و سخت شده بتون خودمتراکم مقاومت بالا.

قطر اسلامپ D (mm)	قیف t (sec)	شکل V	J	حلقه $D - h_1 - h_2$ (mm)	L جعبه t (sec)	شکل L h_1/h_2	متوسط مقاومت نمونه‌ی		نمونه
							مکعب فشاری در سن ۲۸ روزه f_{cu} (MPa)	مکعب فشاری در سن انتقال f_{ci} (MPa)	
۶۸	۷,۰۱	۶۸	۷۶	۰,۸۳	۰,۳۶		۶۷,۱	۵۹,۰	SCC slab ۱
۷۴	۶,۸۵	۷۴	۷۷	۰,۸۹	۰,۳۷		۶۸,۰	۶۱,۰	SCC slab ۲



الف) تغییرات بار کل - عکس العمل تکیه گاه میانی در ال ۴



ب) نمودار بار - خیز دال.

شکل ۴. نمودار تغییرات بار عکس العمل تکیه گاه میانی و بار - خیز دال ۲.

نمودار بار کل - عکس العمل تکیه گاه میانی در مراحل مختلف بارگذاری با کمک قراتت حسگرهای ترسیم و در شکل‌های ۳ و ۴ نشان داده شده است. همان‌گونه که در نمودارهای بار-خیز در شکل‌های ۳ و ۴ نشان داده شده است، در دال‌های ۱ و ۲، با رسیدن بار به ترتیب به مقدار $13/4$ و $11/9$ تن، ترک خمشی به وقوع پیوسته و از سختی عضو کاسته شده است. ابتدا تسليم در فولادهای معمولی در تکیه‌گاه میانی و سپس در وسط دهانه رخ داده است. بار نهایی در دال ۱ و ۲ به ترتیب $40/67$ و $39/40$ تن به دست آمده است.

مشاهده می‌شود که با کاهش سختی عضو، مقدار نیروی عکس العمل در تکیه‌گاه میانی کم شده و بازپخش لنگر باشد باین داده شده است. همچنین بعد از این مرحله، با افزایش بار، مقدار لنگر در وسط دهانه افزایش یافته است. برای مقایسه و اطمینان از اینکه با بتنهای خودمتراکم در سازه‌های پس‌تینیده بتون خروج از مرکزیت بسیاری بیشتری داشته باشند، مقدار آزمایشگاهی برای دال ۱ و ۲ در پیشترین بار خمشی در حالت کشسانی و مقدار آزمایشگاهی برای دال ۵ و ۶ نشان داده شده است. با توجه به این اشکال دیده می‌شود که در شکل‌های ۵ و ۶ نشان داده شده است.

همان‌طور که اشاره شد، بازپخش لنگر به دو عامل مهم؛ ظرفیت نهایی و ظرفیت چرخشی مقطع وابسته است.

مقایسه‌ی بازتوزیع لنگر تئوری و آزمایشگاهی

همان‌گونه که قبلاً اشاره شد، در حال حاضر روش آینین‌نامه‌ی برای تعیین بازتوزیع لنگر در اعضاء بتن خودمتراکم (بدون نیاز به ویره) پیش و یا پس‌تییده وجود ندارد. بنابراین، در این نوشتار، مقایسه‌ها با آینین‌نامه‌هایی که مربوط به بتن معمولی (نیازمند به ویره) در این‌گونه اعضاء است، صورت گرفته است. با توجه به اختلاف نظر آینین‌نامه‌ها در مورد درصد بازتوزیع لنگر، در این قسمت محاسبات تئوریک با کمک روابط پیشنهادی آینین‌نامه‌های بحث شده در قسمت‌های قبل، صورت گرفته و نتایج با مقادیر آزمایشگاهی نوشتار حاضر مقایسه و در جدول ۷ نشان داده شده است. با توجه به مقادیر جدول ۷ چنین نتیجه‌ی می‌شود که به ترتیب بیشترین مقدار بازتوزیع لنگر تئوری با استفاده از آینین‌نامه‌ی CEB-FIP و کمترین مقدار (با مقادیری یکسان) با هر یک از آینین‌نامه‌ی EC2 (۱۹۹۲) به دست می‌آید. در حالی که برای دال ۲ نتایج آزمایشگاهی به ترتیب نزدیک به سه و دو برابر مقادیر آینین‌نامه‌ی EC2 (۱۹۹۲) و EC2 (۲۰۰۴) است. هر چند با اختلاف قابل توجهی، مقادیر پیشنهادی آینین‌نامه‌ی CEB-FIP به مقدار آزمایشگاهی دال ۲ نزدیک‌تر است.

همچنین مقادیر بازپخش لنگر با استفاده از رابطه‌های پیشنهادی آینین‌نامه‌های ACI۳۱۸-۹۹ و ACI۳۱۸-۰۸ براساس این مقادیر، مقدار پیشنهادی ACI۳۱۸-۹۹ به نتایج آزمایشگاهی دال ۱ و مقادیر پیشنهادی ACI۳۱۸-۰۸ به نتایج آزمایشگاهی دال ۲ نزدیک‌تر است. با توجه به مقادیر حاصله می‌توان دریافت که اگرچه وابسته‌کردن بازپخش لنگر به کرنش مصالح در سازه‌های بتن‌آرمه کاملاً مناسب به نظر می‌رسد، اما برای سازه‌های دارای فولاد پس‌تییده بدون پیوستگی کافی نیست. لذا در اعضاء دارای فولاد فشاری، رابطه‌ی پیشنهادی آینین‌نامه نیازمند اصلاح است (این مهم توسط نویسنده‌گان در دست بررسی است و در نوشتار دیگری ارائه خواهد شد). اختلاف موجود بین مقادیر آزمایشگاهی به علت تغییرات اعمالی (سراسری بدون فولاد طولی، تغییر در تعداد فولاد پس‌تییده و فولاد عرضی) است که درنهایت، باعث اختلاف ۶۴ درصدی در بازتوزیع لنگر را ایجاد کرده است. یادآوری می‌شود که چنین اختلاف زیادی، در نتایج آزمایش ۷ تیر با دو دهانه‌ی سراسری دارای فولاد پس‌تییده بدون پیوستگی نیز مشاهده شده است.^[۱۷] و در این آزمایش برای تیرهای آزمایش شده، بازتوزیع لنگری بین ۳ تا ۵۰ درصد را مشاهده کردند. همچنین اختلاف بین مقادیر آزمایشگاهی و آینین‌نامه‌ی نیز از آن جهت است که هنوز آینین‌نامه‌های مذکور ضوابط خاص بازتوزیع لنگر اعضای دارای فولاد پس‌تییده بدون پیوستگی را ارائه نکرده‌اند که می‌توان گفت کمبود اطلاعات آزمایشگاهی یکی از دلایل این موضوع است. به نظر چنین می‌رسد که عوامل مؤثر در بازتوزیع آزمایشگاهی؛ چندباری دال ۲ نسبت به مقادیر تئوری، تعبیه‌ی فولادهای عرضی معمولی بیشتر در بالا و پایین دال ۲ نسبت به دال ۱، و سراسری بدون فولادهای معمولی طولی در دال ۲ نسبت به دال ۱ است. هرچند

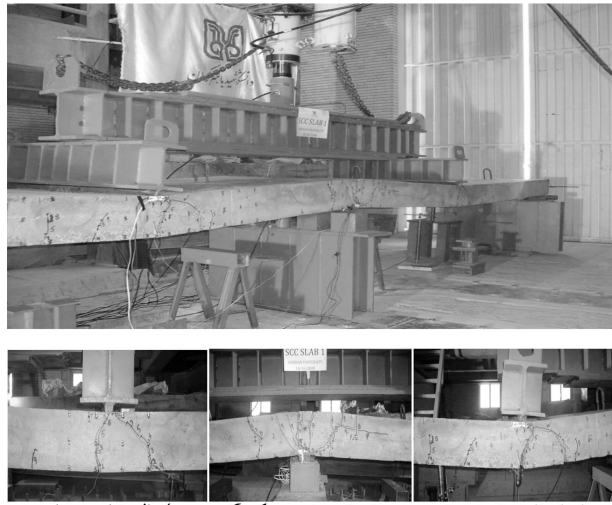
از ظرفیت خمیری) و فاصله‌گرفتن از حالت کشسانی (دال ۱ و ۲)، تخمین مدل کشسانی با واقعیت اختلاف بیشتری یافته است. به عبارت دیگر، با تمهیدات کمی از جمله سراسری قراردادن فولاد معمولی طولی، رفتاری شکل‌پذیر از یک عضو دارای فولاد پس‌تییده با فولاد بدون پیوستگی مشاهده شد (هر چند چنین نتیجه‌ی نیاز به انجام آزمایش‌های بیشتر را ضروری می‌کند).

با دقت در رفتار نمودارهای ۳ و ۴ قابل مشاهده است که در دال ۱ بعد از انتقال ممان از تکیه‌گاه میانی (پس از تشکیل اولین مفصل) به زیر بار، این انتقال همچنان ادامه یافته است، به‌نحوی که ظرفیت مقطع در محل زیر بار، زودتر از ظرفیت تکیه‌گاه میانی، به حالت نهایی رسیده و لنگر دوباره به تکیه‌گاه میانی بازپخش مجدد شده است. لذا در حین بارگذاری تا قبل از رسیدن ظرفیت مقطع زیر بار به حالت نهایی خود، بازپخش لنگر اولیه‌ی در حدود ۵۵٪ اتفاق افتاده است (شکل ۶).

چنین بازپخش لنگری، در بارهای ۶۰ تا ۷۰ درصد بار نهایی عضو، که به عبارت دیگر همان ظرفیت مقطع در زیر بار است، به‌موقع پیوسته است. همان‌گونه که در شکل‌های ۵ و ۶ نشان داده شده است، پس از اتمام ظرفیت باربری مقطع، مجدداً لنگر به تکیه‌گاه میانی منتقل شده است.

نمونه‌ی از مد شکست و وضعیت چرخش در مقاطل خمیری برای دال ۱ در شکل ۷ نشان داده شده است. ابتدا در هر دو دال، اولین مفصل خمیری در تکیه‌گاه میانی شکل‌گرفته و لنگر پس از تشکیل مفصل در این محل، به وسط دهانه بازپخش شده است. اما بعد از تسلیم فولادهای معمولی پیوسته در وسط دهانه، لنگر دوباره به تکیه‌گاه میانی منتقل یافته است.

در تیرهای بتن مسلح مقاومت بالا (با بتن‌های نیازمند به ویره) نشان داده شده است^[۱۸] که با تعبیه‌ی فولاد فشاری ضریب شکل‌پذیری افزایش می‌یابد. علت افزایش حدود ۲۵٪ بازتوزیع لنگر بیشتر، در نمونه‌ی ۲ که منجر به افزایش شکل‌پذیری بیشتر آن شده است، تعبیه‌ی فولاد فشاری در وسط دهانه‌های این دال است. زیرا



شکل ۷. نمای کلی از نحوه تخریب دال ۱.

جدول ۷. مقایسه‌ی بازتوزیع لنگر آینین‌نامه‌ی و آزمایشگاهی (٪).

نمونه	SCC Slab ۱	SCC Slab ۲
نامه	EC2 (۱۹۹۲)	EC2 (۲۰۰۴)
آزمایشگاهی	CEB-FIP	ACI۳۱۸-۹۹
۱۵,۳	۱۶,۴	۲۰
۴۲,۹	۱۶,۱	۲۰

۶. برای این نوع بتن، تهییه کمینه‌ی فولاد طولی معمولی لازم برای شکل‌پذیری مناسب برای رسیدن به بازپخش لنگر در تمام مقاطع بحرانی از جمله تکیه‌گاه میانی و زیر بار ضروری به نظر می‌رسد.

۷. برای دال‌های آزمایش شده، با کاهش سختی عضو، بازپخش لنگر با شدت پیشتری ادامه یافته است. همچنین بعد از این مرحله، با افزایش بار، مقدار لنگر در وسط دهانه افزایش یافته است.

۸. برای دال ۱ نتایج بازتوزیع لنگر آزمایشگاهی با مقادیر پیشنهادی آئین نامه‌ی EC2 (۱۹۹۲) یکسان است. همچنین به ترتیب پیشترین مقدار بازتوزیع لنگر تصوری با استفاده از آئین نامه‌ی CEB-FIP و کمترین این مقدار (با مقادیری یکسان) با هر یک از آئین نامه‌ی EC2 (۲۰۰۴) به دست می‌آید. در حالی که برای دال ۲ نتایج آزمایشگاهی به ترتیب نزدیک به سه و دو برابر مقادیر آئین نامه‌های EC2 (۱۹۹۲)، EC2 (۲۰۰۴) است. هر چند با اختلاف قابل توجهی، مقادیر پیشنهادی آئین نامه‌ی CEB-FIP به مقدار آزمایشگاهی دال ۲ نزدیک‌تر است.

۹. برای هر دو دال، بدون درنظرگرفتن میزان درصد فولاد پس‌تیله‌ی مصرفی، میزان فولاد عرضی معمولی و همچنین منقطع و یا سراسری‌بودن فولادهای طولی معمولی، همواره مقادیر تئوریک بازتوزیع لنگر حاصل از آئین نامه‌های بررسی شده یکسان خواهد بود. هرچند تحقیقات آزمایشگاهی بیشتر با توجه به بازنگری مفاهیم آئین نامه‌ی در اعضاء پس‌تیله دارای هر دو نوع بتن (المعمولی و خودمتراکم) با فولاد پس‌تیله‌ی بدون پیوستگی، به نظر ضروری است.

نتیجه‌گیری

تحقیقات فوری پیشتری در این مورد خصوصاً با به کارگیری بتن نسل جدید (بتن خودمتراکم) پیشنهاد می‌شود. یادآوری می‌شود که هر دو دال ۱ و ۲ دارای فولاد طولی معمولی یکسان هستند (شکل ۲ و جدول ۵).

چنان‌که از نتایج جدول ۷ مشهود است، برای هر دو دال، بدون درنظرگرفتن: میزان درصد فولاد پس‌تیله‌ی مصرفی، میزان فولاد عرضی معمولی و همچنین منقطع و یا سراسری‌بودن فولادهای طولی معمولی، همواره مقادیر تئوریک حاصل از همه‌ی آئین نامه‌های بررسی شده یکسان خواهد بود. لذا، ضرورت تحقیقات آزمایشگاهی پیشتری با توجه به بازنگری مفاهیم آئین نامه‌ی در اعضاء پس‌تیله‌ی دارای بتن خودمتراکم با فولاد پس‌تیله‌ی بدون پیوستگی، بیش از پیش احساس می‌شود.

فهرست علاوه‌الاتم

p: بار خارجی اعمالی

M_y: ممان تسلیم

P_b: مشخصه‌ی فولاد بالاترین

A_{s min}: حداقل سطح فولاد خمشی

f^f: مقاومت فشاری بتن

d_p: فاصله‌ی دورترین تار فشاری از مرکز فولاد پس‌تیله‌گی

M_{cr}: ممان ترک‌خوردگی ناشی از بار خارجی

P_{max}: بیشترین مشخصه‌ی فولاد بالاترین

A_s: سطح مقطع فولاد طولی خمشی غیر پیش‌تیله

β: ضریب بازتوزیع لنگر

M/R: درصد بازتوزیع لنگر

A_{ps}: سطح مقطع فولاد پس‌تیله‌گی

b: عرض سطح فشاری عضو

P_p: نسبت فولاد پس‌تیله‌گی = $\frac{A_{ps}}{bd_p}$

P: نسبت فولاد کششی = $\frac{A_{ps}}{bd}$

P': نسبت فولاد فشاری = $\frac{A'_s}{bd}$

d: فاصله‌ی مرکز فولاد طولی فشاری معمولی از دورترین تار فشاری

f_{ps}: تنش نهایی در فولاد پس‌تیله‌گی

E_{cu}: کرنش نهایی فشاری بتن

P_s: نسبت فولاد پیش‌تیله‌گی

c: ارتفاع تار خنثی

f_{pu}: تنش نهایی در فولاد پس‌تیله‌ی بدون پیوستگی

نتایج آزمایشگاهی بازتوزیع لنگر دو دال یکسره‌ی بتن خودمتراکم پس‌تیله‌ی با فولاد پس‌تیله‌ی بدون پیوستگی با مقادیر تئوریک پنج آئین نامه مقابله شده است (ضمیر موصیه به انجام آزمایش‌های بیشتر) نتایج زیر به دست آمده است. یادآوری می‌شود که از آنجا که در حال حاضر، آئین نامه‌ی در مورد بازتوزیع لنگر چنین اعضا‌یی با بتن خودمتراکم وجود ندارد، مقابله‌ها با آئین نامه‌های موجود به بتن معمولی (بنابراین به ویره) صورت گرفته است، تا بدین طریق کاربرد آئین نامه‌های موجود «با بتن خودمتراکم» نیز ارزیابی شود.

۱. ظرفیت خمشی اسمی (نهایی) مقطع (section) دال‌های یکسره‌ی بتن خودمتراکم پس‌تیله‌ی با فولاد پس‌تیله‌ی بدون پیوستگی با دقت زیاد را نمی‌توان فقط از راه محاسبات وابسته به مقطع آن تعیین کرد. بلکه برای تعیین چنین ظرفیتی، نیاز به شناخت عملکرد کل عضو (whole member) است. به عبارت دیگر، اغلب چنین تعبیر می‌شود که این گونه اعضاء به دلیل عدم پیوستگی بین فولاد پس‌تیله‌ی با بتون اطراف، دارای رفتاری تردشکن و یا به عبارتی دارای ظرفیت خمشی اسمی کمتری نسبت به مقادیر مشابه در اعضاء پیش‌تیله‌ی یا پس‌تیله‌ی با فولاد تئیده شده‌ی دارای پیوستگی است.

۲. نتایج تحقیق حاضر بهوضوح نشان داده است، علی‌رغم عدم پیوستگی بین فولاد پس‌تیله‌ی با بتون خودمتراکم اطراف، این گونه اعضاء دارای ظرفیت تحمل تنشی بیش از مقادیر پیشنهادی توسط پژوهشگران و آئین نامه‌هاست، مشروط به اینکه دارای کمینه‌ی فولاد معمولی پیوسته باشند.

۳. مقدار بازپخش لنگر در بار نهایی برای اعضاء آزمایش شده، رفتار روشنی به نسبت *c/d* از خود نشان نداده است. قابل ذکر است، چنین وضعیتی برای کرنش آرماتور و بتون نیز برقرار است. البته این بدان علت است که رفتار این اعضاء به کل عضو وابسته است، در حالی که نسبت *c/d* به وضعیت مقطع مورد بررسی ارتباط دارد.

۴. استفاده از روابط آئین نامه‌ی ACI ۳۱۸-۰۸ برای تعییه کمینه‌ی فولاد طولی معمولی در اعضاء دارای بتون معمولی (نیازمند به ویره)، برای 20% بازپخش لنگر برای اعضاء دارای بتون خودمتراکم نیز به نظر کافی و ضروری است، اما توصیه می‌شود این مقدار فولاد به صورت سراسری در طول عضو قرار داده شود.

۵. با توجه به تعداد کم دال‌های آزمایش شده، در حال حاضر به طور میانگین به نظر می‌رسد، مقدار 20% بازپخش لنگر در دال‌های پس‌تیله‌ی بدون پیوستگی به استفاده از کمینه‌ی فولاد طولی معمولی پیوسته به صورت سراسری می‌شود.

پانوشت

1. self compacting concrete (SCC)
2. unbonded post tensioned tendon

منابع (References)

1. MacGregor J.G. "Ductility of reinforced concrete structures special for seismic areas", Translated by: Maghsoudi, A.A., Kerman University Press (1996).
2. ACI Committee 318, *Building Code Requirements for Reinforced Concrete (ACI 318-99)*, American Concrete Institute, Detroit, MI. (1999).
3. ACI Committee 318, *Building Code Requirements for Reinforced Concrete (ACI 318-02)*, American Concrete Institute, Detroit, MI. (2002).
4. British Standard (BS), *Structural Use of Concrete, Part 1*, British Standards Institution, BS 8110 (1985).
5. ترکمانزاده، میثم، تحلیل و طراحی عرشی دالهای بتن پس تنیده سراسری خود متراکم، پایان نامه‌ی تخصصی کارشناسی ارشد، داشکده‌ی فنی و مهندسی، دانشگاه شهید بهشتی کرمان (۱۳۸۸).
6. Maghsoudi, A.A. and Ahmadzadeh Heshmati, A., *Report on Serviceability State Loading and the Behavior of Prestressed T-Beams Fabricated of Self-Consolidating Concrete (SCC)*, 3rd National Civil Eng. Congress, Tabriz University, Iran (2007).
7. Naito, C.J.; Parent, G. and Brunn, G. "Performance of bulb-tee girders made with self-consolidating concrete", *PCI Journal*, **51**(06), pp. 72-85 (Nov.-Dec. 2006).
8. Ricardo, N.F. Do Carmo and Sérgio M.R. Lopes "Ductility and linear analysis with moment redistribution in reinforced high-strength concrete beam", *Can. Journal Civil Eng.*, **32**, pp.194-203 (2005).
9. Oehlers, D.J.; Liu, I.; Ju, G., and Seracino, R. "Moment redistribution in continuous plates RC flexural members part 2: Flexural rigidity approach", *Engineering Structures*, **26**(14), pp. 2209-2218 (December 2004).
10. Comité Euro-International Du Béton, *CEB-FIP Model Code 1990: Design Code*, Thomas Telford, London, UK (1993).
11. European Committee for Standardization, *European Committee for Standardization Euro Code 2: Design of Concrete Structures- Part 1-1: General Rules and Rules for Buildings*, Brussels (1992).
12. European Committee for Standardization, *European Committee for Standardization Euro Code 2: Design of Concrete Structures- Part 1-1: General Rules and Rules for Buildings*, Brussels (2004).
13. DIN 1045-part 1, *Concrete Reinforced and Prestressed Concrete Structures. Part1, Concrete Specification, Properties, Production and Conformity, Application Rules for DIN EN 206-1*, German code (2001).
14. ACI Committee 318, *Building Code Requirements for Reinforced Concrete (ACI318-89)*, American Concrete Institute, Detroit, MI (1989).
15. Wyche, P.j.; Uren, J.C. and Reynolds, G.C. "Interaction between prestress secondary moment redistribution and ductility", *ACI Structural Journal*, **89**(1), pp. 57-70 (1992).
16. ACI Committee 318, *Building Code Requirements for Structural Concrete (ACI318-08) and Commentary (R318-08)*, American Concrete Institute, Farmington Hills, Mich., p. 443 (2008).
17. Mast, R.F. "Unified design provisions for reinforced and prestressed concrete flexural and compression members", *Structural Journal*, **89**(2), pp. 185-199 (March 1992).

A NECESSARY INVESTIGATION INTO THE CONCEPT OF MOMENT REDISTRIBUTION AND ITS EXPERIMENTAL AND THEORETICAL DETERMINATION IN UNBONDED POST TENSIONED CONTINUOUS SLABS CONSISTING OF SELF COMPACTING CONCRETE

M. Torkamanzade

mt_pce@yahoo.com

A. A. Maghsoudi*

maghsoudi.a.a@mail.uk.ac.ir

Dept. of Civil Engineering

Shahid Bahonar University of Kerman

Sharif Civil Engineering Journal

Volume 28, Issue 2, Page 131-138, Research Note

© Sharif University of Technology

Abstract

To achieve acceptance for the use of high strength self compacting concrete, HSSCC, in pre and post tensioned elements, this study was conducted. Investigation into the mechanical property effects of the fairly new concrete generation of HSSCC was performed by the first author and, for the designed HSSCC mix, the fresh properties (Slump Flow, L-box, V-funnel and J-ring tests), as well as hardened properties, such as compressive and flexural strength, modulus of elasticity, shrinkage and swelling, were measured at different ages and reported elsewhere. However, it was concluded that while producing HSSCC, it is possible to reduce the amount of shrinkage and swelling by 69% and 30%, respectively, when compared with ordinary self compacting concrete,

SCC. In other words, by applying high strength SCC in prestressed elements, it is possible to reduce the total amount of prestress losses. Therefore, as a general conclusion, current knowledge of HSSCC shows that there are definite advantages, both technical and economical, in using a higher concrete strength in prestressed concrete structures. Greater strength per unit cost and per unit weight, increased modules of elasticity and reduced shrinkage and creep are some of these advantages. Theoretical and experimental research is required to understand the effects of concrete strength on unbonded post tensioned continuous slabs consisting of SCC. As no research work is available on the structural behavior of HSSCC used on post tensioned continuous bridge decks, a research program was conducted at Shahid Bahonar University of Kerman under the first author. For this purpose, first, a review is made on the concept of moment redistribution from the point of view of different standards, based on normal (vibrated) concrete. The relations for normal concrete are evaluated by casting and experimentally load testing two unbonded continuous post tension HSSCC slabs, having 7.5m length, 1.0m width and 0.2m height. The theoretical and experimental results indicated that it is safe to make use of available standards on vibrating concrete for moment redistribution calculations of tested slabs consisting of this type of non vibrating concrete. With the obtained range of results, it was found that HSSCC will consolidate exceptionally well under its own weight, even for elements containing high amounts of reinforcement.

Key Words: high strength self compacting concrete, unbonded post tensioned, moment redistribution, slabs.

*corresponding author

Received 30 January 2010; received in revised form 21 January 2011; accepted 06 March 2011